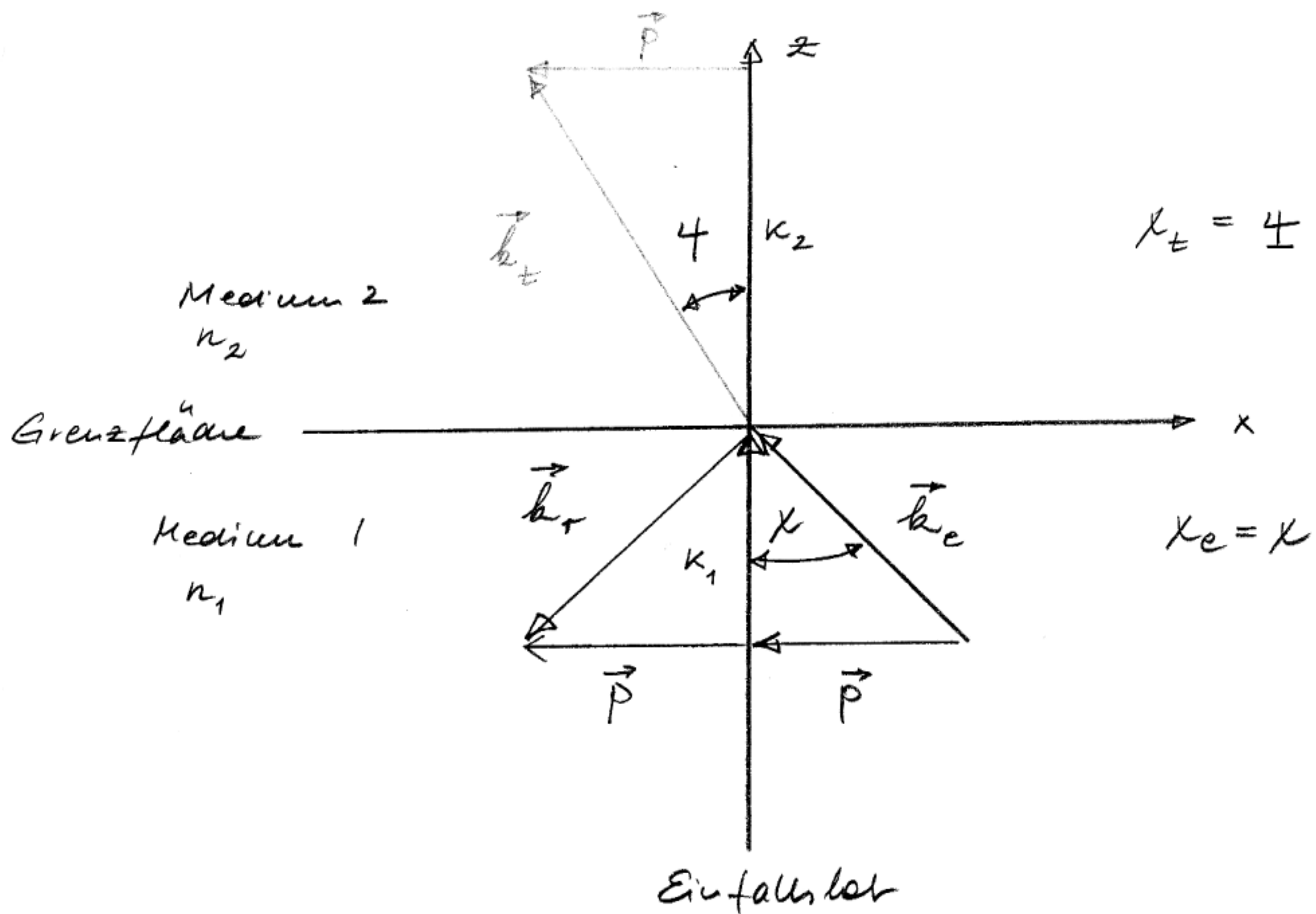


## 5.4. Allgemeine Reflexion und Brechung



Der Wellenvektor  $\vec{k}_e = (\vec{p}_e, k_e)$  der einfallenden homogenen Welle sättige den Winkel  $\chi_e$  mit dem Einfallstor  $\vec{n} = (0, 0, 1)$  ein. Wir wählen die Einfallebene  $(\vec{k}_e, \vec{n})$  so, daß sie gleich der  $(x-z)$ -Ebene ist, d.h.  $\vec{p} = (p, 0, 0)$ .

Neben der einfallenden und der durchgehenden Welle wird es in allgemeiner und einer reflektiven Welle geben; ohne die reflektive Welle kann sich i.a. die aus der Maxwell Theorie folgenden Stetigkeitsbedingungen beim Übergang von Medium 1 zu Medium 2 nicht erfüllen.

Wie in Kapitel 5.1 diskutieren führen wir eine Fourierzerlegung der elektromagnetischen Felder durch und betrachten die Fourierkomp.

$$\vec{E}^{w\vec{p}}(z) \text{ und } \vec{B}^{w\vec{p}}(z), \dots$$

Die beiden Fourierindizes  $w$  und  $\vec{p}$  lassen wir im folgenden immer weg.

In jedem der beiden Halbraume ① und ② setzen wir an

$$z < 0 : \vec{E}(z) = \vec{E}_e e^{iK_1 z} + \vec{E}_r e^{-iK_1 z}$$

einfallende                           reflektierte  
Welle                                   Welle

analog für weitere elektromagnetische Felder

$$z > 0 : \vec{E}(z) = \vec{E}_t e^{iK_2 z}$$

transmittierte  
(durchgehende)  
Welle

Beachte, dass sich beim Übergang von Medium 1 auf Medium 2 keine kinematischen Restriktionen an die Frequenz  $w$  und den Wellenzahl  $\vec{p}$  parallel zur Grenzschicht ergeben; dies liegt an der zeitlichen Translationsinvarianz und der Invarianz des Systems gegenüber Translationen parallel zur Grenzschicht.

Sei nun  $\kappa_{1,2}$  reell. Dann liegen alle homogenen Wellen in der Ebene, die durch  $(\vec{k}_e, \vec{n})$  aufgespannt wird (= Einfallsebene).

An der Gleichheit der Frequenzen  $\omega$  folgt

$$\begin{aligned}\omega &= \omega_1(\vec{k}) = \frac{c}{n_1} |\vec{k}_1| = c_1 k_1 \\ &= \omega_2(\vec{k}) = \frac{c}{n_2} |\vec{k}_2| = c_2 k_2\end{aligned}$$

$$\sin \chi_e = \frac{\rho}{k_e} = \frac{\rho}{\omega} c_1$$

$$\sin \chi_t = \frac{\rho}{k_t} = \frac{\rho}{\omega} c_2$$

$$\Rightarrow \frac{\sin \chi}{c} = \frac{\rho}{\omega} = \text{konstant!}$$

$$\boxed{n_1 \sin \chi = n_2 \sin \psi}$$

Snellius'sches Gesetz

Die kinematischen Einordnungen an die Wellenamplituden lauten

$$\frac{pc}{\omega} = n \sin \chi = \text{konstant}$$

und folglich

$$x_e = -x_r, \quad n_1 \sin \chi_e = n_2 \sin \chi_t$$

Wähle folgende Notation

$$\begin{array}{lll} \chi = \chi_e = -\chi_r & \text{einfall. / refl. Welle} \\ \varphi = \chi_t & \text{transm. Welle} \end{array}$$

(Beachte nun, dass  $k_r = -k_e$ )

---

In folgender verwerden wir nun die dynamischen Einordnungen, die sich aus den Sistigkeitsbedingungen für die elekt. Felder ergeben:

(1) Normalkomponente von  $\vec{B}, \vec{J}$  stetig

(2) Tangentialkomponenten von  $\vec{H}, \vec{E}$  stetig

Wir unterscheiden die Fälle, dass  $\vec{E}$  in oder senkrecht zur Einfallsebene liegt

a)  $\vec{E} \perp \text{Einfallsebene} : \vec{E} = (0, E_1, 0)$

$$\underbrace{E_{\text{tangential}}}_{\text{stetig}} \Rightarrow \boxed{E_e + E_r = E_t} \quad (\alpha)$$

H<sub>tangential</sub> stetig

$$\vec{B} = \frac{c}{\omega} \vec{k} \times \vec{E} = \frac{c}{\omega} (-\kappa E_1, 0, \kappa E_1) \quad (\text{Faraday})$$

$$\mu = 1 \quad \therefore \vec{B} = \vec{H} \quad (\text{Wähle } \mu = 1!)$$

$$\nabla \boxed{-K_1 E_e + K_1 E_r = -K_2 E_t} \quad (\beta)$$

Durch Kombinieren von (a) und (b) findet man

$$\boxed{\begin{aligned} E_t &= \frac{2K_1}{K_1+K_2} E_e & = t_{\perp} E_e \\ E_r &= \frac{K_1-K_2}{K_1+K_2} E_e & = r_{\perp} E_e \end{aligned}} \quad (\text{Reflexions- und Transmissionskoeff.})$$

Nun verwenden wir weiter das Durchflutungsgesetz um die Dispersionselektivität zu erhalten

$$\left\{ \begin{array}{l} \epsilon \frac{\omega^2}{c^2} = p^2 + k_i^2 \\ \approx k_i^2 = \frac{n^2 n_i^2}{c^2} \left( 1 - \left( \frac{pc}{n_i w} \right)^2 \right) = \left( \frac{\omega n_i}{c} \right)^2 (1 - \sin^2 \chi_i) \\ = \left( \frac{\omega n_i}{c} \right)^2 \cos^2 \chi_i \quad ; \quad (i = 1, 2 \triangleq e, r) \end{array} \right.$$

$$\left. \begin{array}{l} k_1 = \frac{\omega}{c} n_1 \cos \chi \\ k_2 = \frac{\omega}{c} n_2 \cos \psi \end{array} \right\} \quad \begin{array}{l} \text{die sind schließlich die} \\ \text{Projektionen der Wellenvektoren} \\ \text{in den Medien 1 und 2} \\ \text{auf den Einfallslot} \end{array}$$

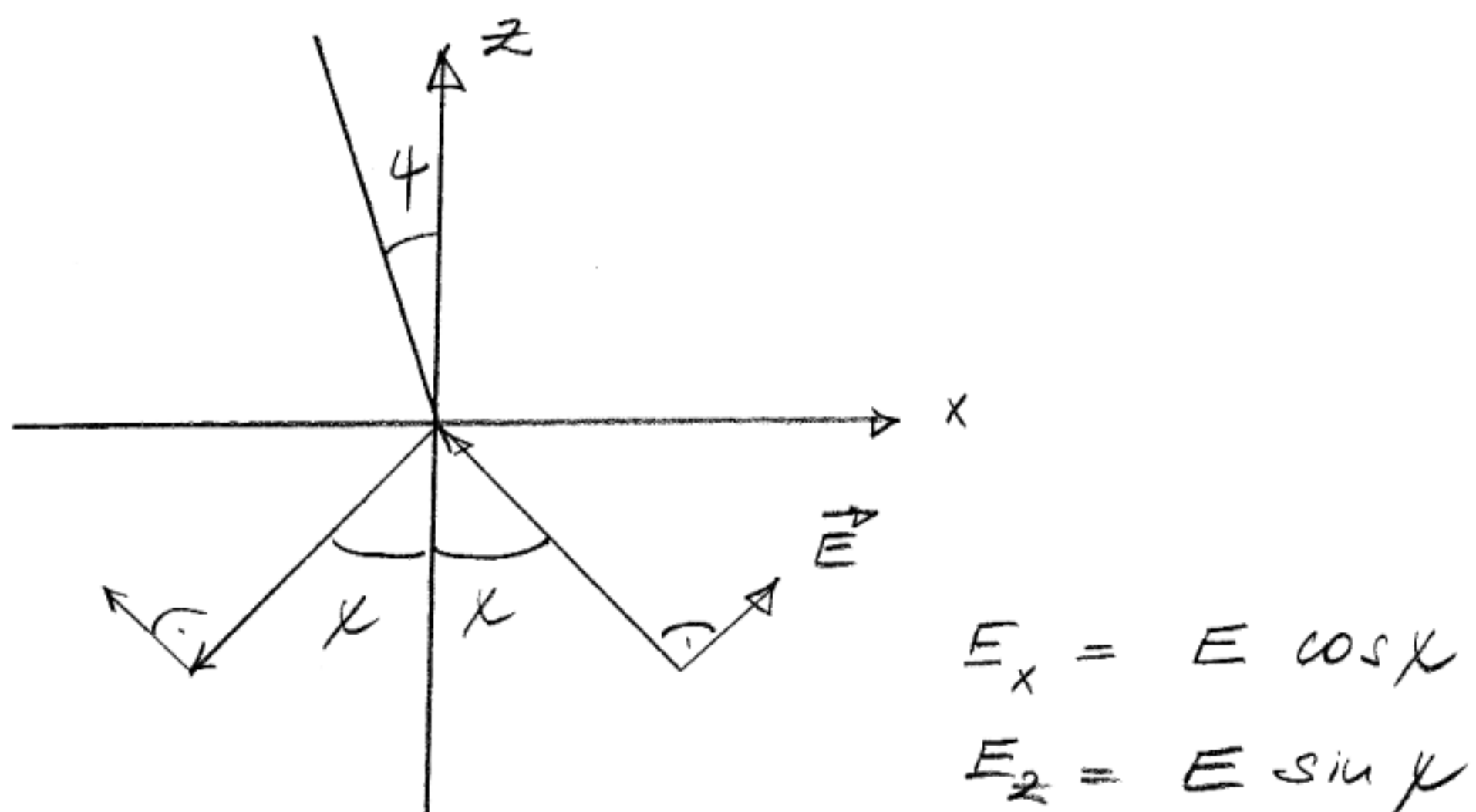
$$\begin{aligned} \rightsquigarrow \frac{E_r}{E_e} &= \frac{n_1 \cos \chi - n_2 \cos \psi}{n_1 \cos \chi + n_2 \cos \psi} = \\ &= \frac{\sin \psi \cos \chi - \sin \chi \cos \psi}{\sin \psi \cos \chi + \sin \chi \cos \psi} \\ &= \frac{\sin(\psi - \chi)}{\sin(\psi + \chi)} = - \frac{\sin(x - 4)}{\sin(x + 4)} \\ &\text{Add. theoreme} \end{aligned}$$

$$\boxed{\frac{E_r}{E_e} = - \frac{\sin(x - 4)}{\sin(x + 4)}} \quad (1F)$$

$$\begin{aligned}
 \frac{E_t}{E_e} &= \frac{\frac{2K_1}{K_1+K_2}}{\frac{n_1 \cos x}{n_1 \cos x + n_2 \cos 4}} = \frac{\frac{2n_1 \cos x}{n_1 \cos x + n_2 \cos 4}}{\frac{n_1 \cos x + n_2 \cos 4}{\frac{\sin 4}{\sin x} \cos x}} = \\
 &= \frac{\frac{2 \sin 4 \cos x}{\sin x + \sin 4 \cos 4}}{\frac{\sin x \cos x + \sin 4 \cos 4}{\sin(x+4)}} = \frac{\frac{2 \sin 4 \cos x}{\sin(x+4)}}{\sin(x+4)} = 
 \end{aligned}$$

$$\boxed{\frac{E_t}{E_e} = \frac{2 \sin 4 \cos x}{\sin(x+4)}} \quad (2F)$$

b)  $E \parallel$  Einfallsebene :  $\vec{E} = (E_x, 0, E_z)$



Etangentialtang:

$$\rightsquigarrow [(E_e - E_r) \cos x = E_t \cos 4] \quad (\alpha')$$

$$\text{Haupttang: } \vec{B} = \frac{c}{\omega} \vec{k} \times \vec{E} = \frac{kc}{\omega} (0, E, 0)$$

$$\rightsquigarrow k_1(E_e + E_r) = k_2 E_t \quad \left( k_1 = \frac{\omega}{c} n_1 \right)$$

$$\rightsquigarrow \boxed{n_1 (E_e + E_r) = n_2 E_t} \quad (\beta') \quad \left( k_2 = \frac{\omega}{c} n_2 \right)$$

$$\frac{E_t}{E_e} = \frac{2 \sin 4 \cos x}{\sin(x+4) \cos(x-4)} \quad (3F)$$

$$\frac{E_r}{E_e} = \frac{\tan(x-4)}{\tan(x+4)} \quad (4F)$$

Nebenbedingung

- $(\alpha') \cdot n_2 - (\beta') \cos 4 :$

$$(E_e - E_r) n_2 \cos x - n_1 \cos 4 (E_e + E_r) = 0$$

$$E_e [n_2 \cos x - n_1 \cos 4] = E_r [n_2 \cos x + n_1 \cos 4]$$

$$\begin{aligned} \text{~} \frac{E_r}{E_e} &= \frac{n_2 \cos x - n_1 \cos 4}{n_2 \cos x + n_1 \cos 4} = \frac{\cos x - \frac{n_1}{n_2} \cos 4}{\cos x + \frac{n_1}{n_2} \cos 4} \\ &= \frac{\cos x - \frac{\sin 4}{\sin x} \cos 4}{\cos x + \frac{\sin 4}{\sin x} \cos 4} = \frac{\sin x \cos x - \sin 4 \cos 4}{\sin x \cos x + \sin 4 \cos 4} = \\ &= \frac{\sin 2x - \sin 24}{\sin 2x + \sin 24} \\ &= \frac{\cos(x+4) \sin(x-4)}{\sin(x+4) \cos(x-4)} = \frac{\tan(x-4)}{\tan(x+4)} \end{aligned}$$

- $(\alpha') \cdot n_1 + (\beta') \cos x$

$$E_e (n_1 \cos x + n_1 \cos x) = E_t (n_1 \cos 4 + n_2 \cos x)$$

$$\text{~} \frac{E_t}{E_e} = \frac{2 \sin 4 \cos x}{\sin 4 \cos 4 + \sin x \cos x} = \frac{2 \sin 4 \cos x}{\sin(x+4) \cos(x-4)}$$

## Fresnelsche Formeln

$\vec{E} \perp$  Einfallsebene

$$\frac{E_r}{E_e} = - \frac{\sin(x-4)}{\sin(x+4)}$$

$$\frac{E_t}{E_e} = \frac{2 \sin 4 \cos x}{\sin(x+4)}$$

$\vec{E}$  in Einfallsebene

$$\frac{E_r}{E_e} = \frac{\tan(x-4)}{\tan(x+4)}$$

$$\frac{E_t}{E_e} = \frac{2 \sin 4 \cos x}{\sin(x+4) \cos(x-4)}$$

## Diskussion

Wenn das Medium 2 „optisch dicker“ als das Medium 1 ist, d.h.  $n_2 > n_1$ , so existieren nach dem Snellius'schen Brechungsgesetz

$$\sin 4 = \underbrace{\frac{n_1}{n_2}}_{<1} \sin x$$

zu jedem Einfallswinkel  $x$  ein reeller Bruchungswinkel  $4$ . Falls aber das Medium 1 das optisch dünner ist, d.h.  $n_1 > n_2$ , so gibt es reelle Lösungen nur, wenn  $\sin x < \frac{n_2}{n_1}$  ist. Der Fall  $\sin x > \frac{n_2}{n_1}$  (Totalreflexion) diskutieren wir später noch im Detail. Hier schließen wir diesen Fall aus.

$$0 \leq \chi \leq \frac{\pi}{2} , \quad 0 \leq \varphi \leq \frac{\pi}{2}$$

$E_r/E_e$  und  $E_t/E_e$  sind reell

→ Phasen der reflektierten und gebrochenen Welle unterscheiden sich von der einfallenden Welle gar nicht oder um  $\pi$  (Faktor -1).

Vorzeichenkonvention: Nach den obigen Skizzen bezeichnet man die Komponenten der gebrochenen Welle als gleichphasig mit der einfallenden Welle, wenn  $E_t/E_e > 0$ . Bei der reflektierten Welle müssen wir die Fälle  $\vec{E} \perp$  und  $\parallel$  zur Einfallsebene unterscheiden. Fall  $\vec{E} \perp (\vec{k}, \vec{n})$  sind einfallende und reflektierte Welle gleichphasig für  $E_r/E_e > 0$ ; falls  $\vec{E} \parallel (\vec{k}, \vec{n})$  sind einfallende und reflektierte Welle gleichphasig wenn  $E_r/E_e < 0$ .

Aus den Fresnel'schen Formeln lernt man nun ab:

- (i)  $E_t/E_e > 0$ , d.h. kein Phasensprung zwischen einfallender und durchgehender Welle.
- (ii) Reflektierte Welle:  $n_2 > n_1 \rightarrow \chi > \varphi$   
Dann  $E_r/E_e < 0$ 
  - Komponente  $\perp$  Einfallsebene macht einen Phasensprung um  $\pi$ .

- Komponente  $\parallel$  Einfallsebene

• falls  $\chi + \varphi < \frac{\pi}{2}$  (also  $\tan(\chi + \varphi) > 0$ )

$\wedge E_r/E_0 > 0$ , d.h. auf diese Komponente macht einen Phasensprung um  $\pi$

• bei größeren Winkeln ( $\chi + \varphi > \frac{\pi}{2}$ ) und die Komponenten in Phase

(iii) Deflektierte Welle:  $n_1 > n_2 \wedge \chi < \varphi$   
dann addieren sich die Vorzeichen in den  
reflektierten Anteilen gerade um. Folglich  
macht die  $\perp$  Komponente keinen Phasen-  
sprung, und die  $\parallel$  Komponente aber fällt  
nicht bei  $\chi + \varphi = \frac{\pi}{2}$ ; oberhalb dieser  
Winkel springt die  $\parallel$  Komponente dann um  $\pi$ .

(iv) Senkrechter Einfall  $\chi = 0$

Dann werden die Fresnel Formeln  
unbrauchbar. Setze in früheren Ausdrücken  
 $\cos \chi = \cos \varphi = 1$

$$\frac{E_r}{E_0} = \frac{n_1 - n_2}{n_1 + n_2}$$

$$\frac{E_t}{E_0} = \frac{2n_1}{n_2 + n_1}$$

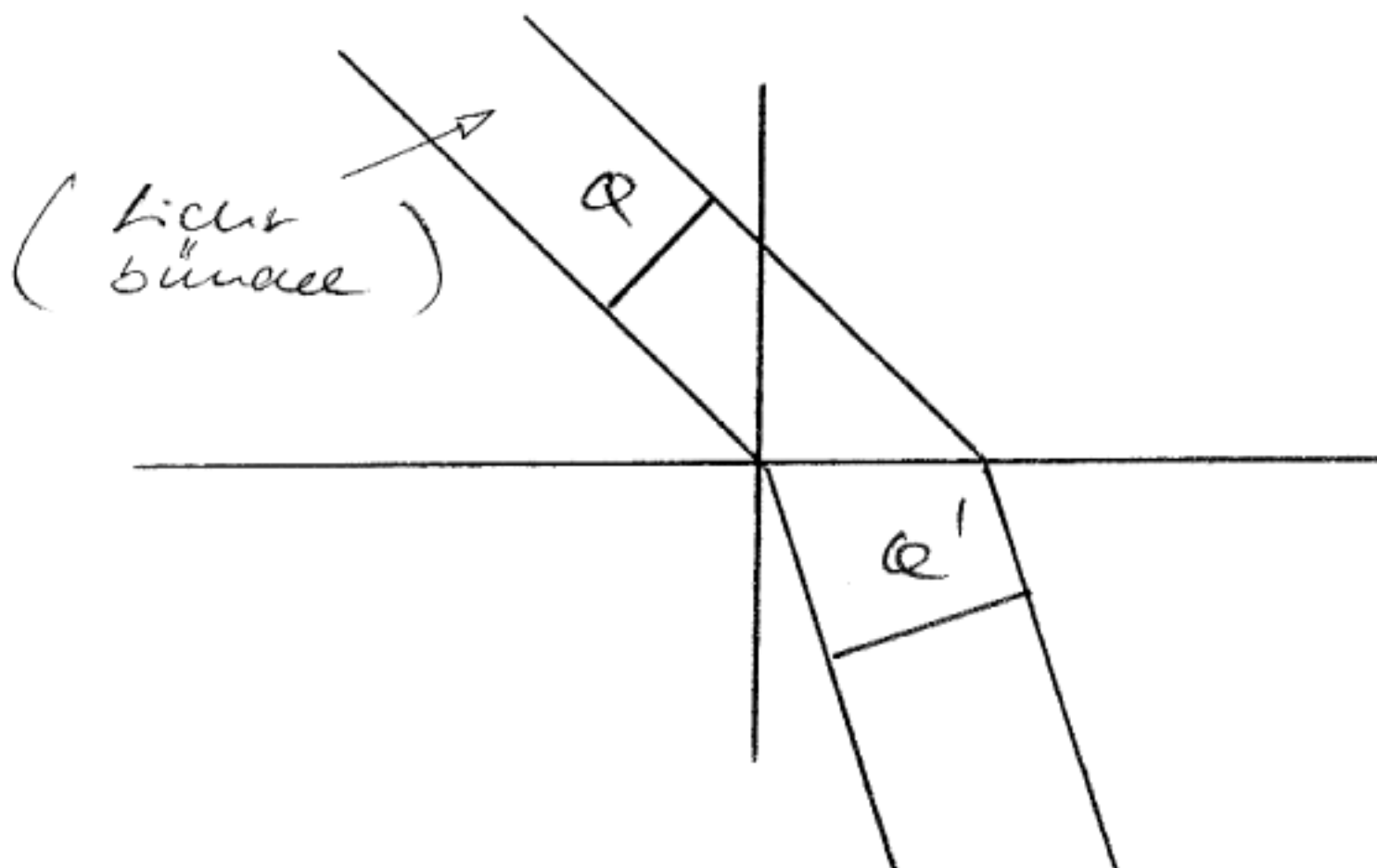
Der Leistungsdurchgang zwischen der  $\perp$  und  $\parallel$   
Komponente ist verschwunden, der Begriff  
der Einfallsebene bedeutungslos geworden.

Der Betrag des Poynting Vektors, d.h. die Lichtintensität, ist gegeben durch ( $\mu = 1$ )

$$|\vec{S}| = \frac{c}{4\pi} |\vec{E} \times \vec{H}| = \frac{c}{4\pi} \underbrace{\epsilon}_{n} E^2$$

siehe 3.6.

Kann man die Intensitäten des gespiegelten und gebrochenen Lichts nur Hilfe der Fresnel'schen Formeln zu bestimmen, mit man bedenken, dass der Querschnitt eines Lichtstrudels bei der Brechung nicht ändert.



$R$  = Reflexionsvermögen

$$= \frac{|S_r| \cos x}{|S_e| \cos x} = \begin{cases} \frac{\tan^2(x-4)}{\tan^2(x+4)} & ; \quad // \\ \frac{\sin^2(x-4)}{\sin^2(x+4)} & ; \quad \perp \end{cases}$$

$T$  = Durchlässigkeit

$$= \frac{|S_t| \cos 4}{|S_e| \cos x} = \begin{cases} \frac{\sin 2x \sin 24}{\sin^2(x+4) \cos^2(x-4)} & ; \quad // \\ \frac{\sin 2x \sin 24}{\sin^2(x+4)} & ; \quad \perp \end{cases}$$

kan verifizieren, dass

$$R + T = 1$$

ist, wie nach dem Energieerhaltungssatz gelten muss.

Bei senkrechtem Einfall haben wir

$$R = \left( \frac{n_2 - n_1}{n_2 + n_1} \right)^2, \quad T = \frac{4 n_1 n_2}{(n_2 + n_1)^2}$$

$$\lim_{n_1 \rightarrow n_2} R = 0, \quad \lim_{n_1 \rightarrow n_2} T = 1$$

Je weniger an optische Unterschied zweier Medien desto weniger Energie verlieren ein und ihre Grenze bei totaler Lichtstrahl durch Reflexion.

Für streifenden Einfall,  $x = \frac{\pi}{2}$ , wird  $R = 1$ .

Die Neur der Ausdrücke für  $R$  und  $T$  bleiben immer endlich nur eine Ausnahme:

Für  $x + 4 = \frac{\pi}{2}$  wird  $\tan(x + 4) = 00$  und damit  $R_{||} = 0$ . Dann wird also die Komponente des E-Feldes  $\parallel$  Einfall ebene nicht reflektiert.  $4 + x = \frac{\pi}{2}$  heut, das reflektierter und gesrohener Strahl aufeinander  $\perp$  stehen  $\rightarrow$  Skizze